

東京大学北海道短期大学 正員三上敏司  
北海道大学 正員能町純雄  
室蘭工業大学 正員松岡健一

## 1. まえがき

この種の研究は、Bycroft<sup>1)</sup>が、半無限弾性体上へ剛体を落下させた場合の衝撃力を地盤の動的コンプライアンスを用いて求め、理論と実験とを比較している。

この種の問題の衝撃実験において、昨年、電力中央研究所で、緩衝材としてプレイウッドを付けた50ミリマスクの落下衝撃実験を行っている。さらに、金沢大学の吉田ら<sup>2)</sup>は、ロックウェルへの落石による衝撃実験を行っている。

本論文は、これらの衝撃実験の理論解として、図-1で示した通りに、減衰バネによって支持された質量Mの剛体を、ある高さHのところから、半無限弾性体上の剛密着している質量をもたない剛円盤上に、落下させた場合の減衰バネの変位、剛体の速度、衝撃力を求めてみた。

## 2. 理論解析

図-1の半無限弾性体上に剛密着している質量をもたない半径r<sub>0</sub>の剛円盤の強制振動を作らせた場合の動的コンプライアンスを求めてみる。三次元運動方程式を 半径方向、回転方向には、Fourier変換、鉛直方向には、Hankel変換を施して、三成分の変位を求め、さらに、それを使って、鉛直方向の応力を、次式のBycroftの弾性接触理論に従って、仮定する。

$$\bar{\sigma}_z = \frac{V e^{i\omega t}}{2\pi r_0 (r_0^2 - r^2)^{\frac{1}{2}}} \quad \text{for } r < r_0, \quad \bar{\sigma}_z = 0 \quad \text{for } r > r_0. \quad (1)$$

そうすることにより、半無限弾性体の鉛直方向の変位と求め、それを逆変換し、さらに、平均鉛直変位を求めてみると、

$$S_0 = C_{vv}(a_0) \cdot V e^{i\omega t} \quad (2)$$

ここで、Vは、強制振動力、C<sub>vv</sub>(a<sub>0</sub>)は、動的コンプライアンスである。

図-1で示したように、バネ定数kをもつバネと減衰係数cをもつダッシュポットから成る減衰バネで支持された剛体を 半無限弾性体へ落下させた場合の運動方程式は、減衰バネの変位は、S<sub>1</sub>とすると、

$$M \frac{d^2 S_1}{dt^2} + c \frac{d}{dt} (S_1 - S_0) + k(S_1 - S_0) = 0 \quad (3)$$

減衰バネと衝撃力Vとの運動方程式は、

$$c(S_1 - S_0) + k(S_1 - S_0) = V \quad (4)$$

(2), (3), (4)式を用いて、減衰バネの変位S<sub>1</sub>、剛体の速度、衝撃力を求わると、

$$S_1 = \frac{V_0}{2\pi} \left( \frac{P_0}{G_0} \right)^{\frac{1}{2}} r_0 \int_{-\infty}^{\infty} \frac{\{1 - (K + i2\sqrt{K}a_0\lambda)\} e^{i\omega\lambda da_0}}{(K + i2\sqrt{K}a_0\lambda)(1 + ba_0^2 C_{vv}) - ba_0^2} d\lambda = \frac{V_0}{2\pi} \int_{-\infty}^{\infty} \frac{i a_0 \{1 - (K + i2\sqrt{K}a_0\lambda)\} e^{i\omega\lambda da_0}}{(K + i2\sqrt{K}a_0\lambda)(1 + ba_0^2 C_{vv}) - ba_0^2} da_0.$$

$$V = M \frac{d^2 S_1}{dt^2} \quad (5) \quad \text{ここで, } a_0 = (P_0/G_0)^{\frac{1}{2}} t, \quad K = \frac{P_0}{G_0 r_0}, \quad C = \frac{2\sqrt{M K}}{P_0 r_0}, \quad \lambda: \text{減衰定数}, \quad b = M/P_0 r_0^2$$

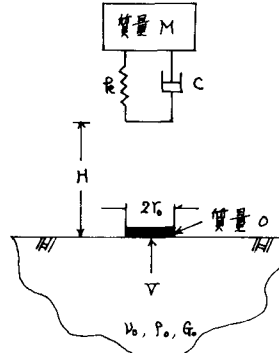


図-1

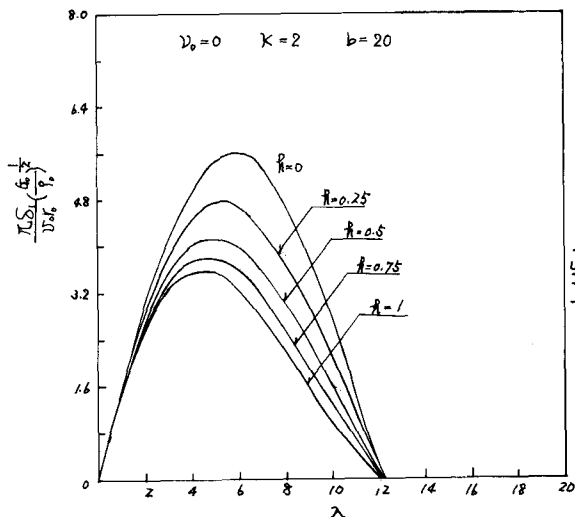


図-2

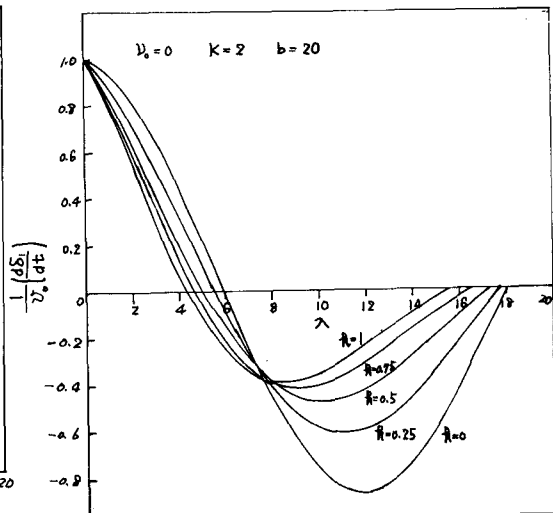


図-3

### 3. 数値計算例

数値計算例として、半無限弾性体のポアソン比  $\nu_0 = 0$ 、

剛体比  $K = 2$ 、質量比  $b = 20$  の場合の減衰定数  $\xi = 0$ 、

$0.25, 0.5, 0.75, 1$  の無次元時間入に対する減衰パネルの変位、剛体の速度、衝撃力と求めたみた。

図-2では、衝撃時間に対する剛体を支持している減衰パネルの変位を示している。減衰定数が大きくなるに従って最大変位とその時の時間も減少している。

図-3では、衝撃時間に対する剛体の速度を示している。入 = 0 では、速度は、初速度に等しく、時間が経つにつれて、減少し、減衰定数が大きくなるに従って、顕著である。

速度が負であることは、剛体がはね返る振動の意味で、減衰定数が大きくなるに従って、短い時間で、最大速度に達し、減衰定数が小さくなるに従って、最大速度は大きくなる傾向にある。

図-4では、衝撃時間に対する衝撃力を示している。入 = 0 で、 $\xi = 0$  では、衝撃力は、存在しない。減衰定数が大きくなるに従って、少しだけ時間が経つといない時には、衝撃力は大きくなる。時間が経つにつれて、逆に、減衰定数が小さい程、衝撃力は大きくなる。さらに、減衰定数が大きくなるに従って、衝撃作用時間は、短くなる。

### 4. あとがき

数値計算結果として、少しだけ時間が経つといない時には、減衰定数が大きくなる従って、大きくなるが、最大衝撃力は、 $\xi = 0$  と  $\xi = 0.75$  とが、ほぼ等しい。衝撃作用時間は、減衰定数が大きくなるに従って、より短い時間になる。

数値計算に関しては、北海道大学計算機センターの HITAC-M-280H を使用した。

### 5. 参考文献

- 1) G.N. Bycroft: "Impact of a Rigid Body on an Elastic Half Space" A.S.M.E. June, 1977
- 2) 吉田博 "防護壁上への落石による衝撃力の推定に関する研究" 1月, 1984

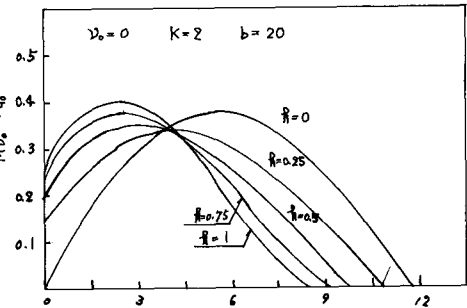


図-4